

## 냉연 강판의 폭방향 판두께 제어 기술

배 원 병\* 박 해 두\*\* 최 재찬\*

\* 부산대학교 공과대학 기계설계과

\*\* POSCO 기술연구소 광양연구팀

### ABSTRACT

The cold rolled strip meets continuously rising demands on the less deviation of thickness at the width direction of their rolled products. Especially, the special interest has been to find the methods to reduce the edge drop which influences seriously on the yield losses and the quality of the rolled products.

In this study, the influence of hot coils on the thickness profile of cold rolled strip was analyzed. For obtaining the tapered work roll shift conditions, the thermal crown and the flattening between the work roll and the strip were calculated, and the main parameters which have mostly effects on the edge drop were simulated. Also the obtained conditions from the simulation were applied to Tandem Cold Rolling Mill to investigate the change of the edge drop and the crown ratio depending on the amount of work roll taper and the length of contact of taper. The results of the application led to better thickness profile than conventional one.

### 1. 서론

최근 수년간 판재의 냉간압연 분야에서 임연판재의 치수정도 및 평활도에 대한 수요가의 요구가 점점 엄격해짐에 따라 판의 균일성에 관한 연구가 활발히 진행되어 길이 방향 판두께 정도에 관한 연구는 상당한 진보를 이루었으며, 자동 판두께 제어 (Automatic Gauge Control)등의 어리가지 기술적 수단이 현장에 적용되어 큰 효과를 나타내고 있다.

그리나 최근 수요가들은 길이방향 뿐만아니라 폭방향의 두께 보증의 요구가 점점 더 엄격해지고 있다. 냉간압연 판의 폭방향의 판두께에 영향을 주는 인자들은 소재의 크라운, 에지 드롭(edge-drop), 엣지(wedge)등에 영향을 받는다. 소재의 크라운(폭방향의 판두께 편차 분포)은 냉간압연을 원활하게 하며 출측 판의 양호한 형상을 일기위해서는 냉연판과 열연판의 크라운비가 같게 암연되어야 하기 때문에 통상 소재의 크라운이 높을수록 냉연판의 폭방향의 판두

께 편차는 점점 더 커진다. 소재의 엣지 드롭은 당연히 냉연판의 에지 드롭으로 유도되어 엣지(좌우 가장자리 두께 편차)는 한쪽편의 웨이브(wave)를 발생시키는등 냉간압연의 작업성을 저하시킬뿐 아니라 두꺼운 쪽은 코일로 감은 후 불특하게 높아지는 겹침(build-up)을 유발시킬 가능성이 높고, 얇은 쪽은 엣지드롭을 발생시킬 수 있다. 특히, 에지 드롭에 대해서는 판 두께의 품질, 실수율(實收率) 등에 큰 영향을 미치기 때문에 그의 개선이 강하게 요구되고 있다.<sup>1,2)</sup>

폭방향 판두께 정도에 관한 연구는 임구축 판두께 불균일의 원인 및 그 제거법에 대한 여러가지 기술이 고려되고 있다. 그러나 작업중 폭방향 판두께 분포의 정확한 측정이 곤란하고 판두께 정도에 미치는 인자가 많기 때문에 미해결점이 많다. 이같은 어려움을 극복하기 위하여 자동 형상 제어 시스템 (Automatic Shape Control System) 및 판크라운 (Strip Crown)의 제어능력이 큰 6단 암연기, CVC (Continuously Variable Crown) 암연기, VC (Variational Crown) 암연기 등 여러종류의 암연기가 개발<sup>1-3)</sup>되어 사용

되고 있다.

D & I 강판은 열연코일 두께 2.0 또는 2.2mm로부터 제품 최소두께 0.264mm 까지 입연해야함은 물론 길이방향 및 폭방향의 두께편차가 최소로 (현재  $4\mu\text{m}$ 이내) 관리되어야 하기 때문에 냉간압연 기술의 대표적인 강판으로 주목받고 있다. Drawn and Ironed Process의 유리한 점은 사용용기의 바닥두께는 제품 원래 두께와 같지만 비은 원래 두께의 30~40% 까지 얕게 만들 수 있다는 점을 들 수 있다. 또한, 탄소강을 이용하여 two-piece can을 제조함으로써 저렴한 가격으로 제품을 생산할 수 있게 되었다.

본 연구는 냉연강판의 폭방향의 판두께가 소재인 Hot-coil에 따른 영향도를 분석하고, 냉간압연중에 발생되는 에지 드롭을 방지하기 위해 작업롤(work roll: WR)에 직진 테이퍼를 주고 또 인속냉간압연기에서 폭의 변화에 대응하게 하기 위해 작업롤 이송하여 에지드롭에 영향을 주는 부위의 두께를 보상하는 방법으로 접근하여 좋은 결과를 얻었다.

## 2. 이론적 조사

### 2.1 압연체와 작업롤 사이의 편평량

Fig. 1과 같이 접촉부영길이  $L_d$ ,  $j$ 는 압연하중이 작용되는 점이라 할 때, 롤 길이의 중앙에서  $X_i$  만큼 떨어진 점  $\Delta$ 의 편평량을 다음과 같이 반무한체의 가정으로 계산한다.<sup>4)</sup>

$$\delta(i, j) = \frac{1 - \nu^2}{\pi E} \cdot p(j) \cdot (F(Y_i) + F(Z_i)) \dots (1)$$

여기서,  $F(Y_i)$ ,  $F(Z_i)$ 는 반무한체 표면의 접종하중 함수이고, 하중 작용점의 위치  $Y_i$ 와  $Z_i$ 는 각각 아래와 같다.

$$Y_i = |X_i - \eta j|$$

$$Z_i = X_i + \eta j$$

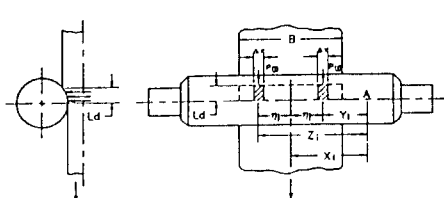


Fig. 1. Scheme for work roll flattening.

위 식에서 대부분이 미지수이기 때문에 일부의 값을 계산할 수 있으며 접촉선하중과 각 롤의 치전량 및 편평량이 미지수이며 서로의 값에 영향을 미치므로 시행착오법으로 해를 구한다.<sup>5),6)</sup>

### 2.2 냉간압연에 있어서 작업롤 열 크라운 예측 모델

냉간 압연에 있어서, 압연체의 현열, 가공열 및 압연체의 마찰열등에 의해 작업 Roll은 열팽창된다. 이 열팽창의 Profile 을 열 크라운이라고 한다. 열 크라운의 예측은 해석적 방법 외에 수치 해법에 의한. 계산 예가 많이 보고되고 있으나, 비교적 복잡한 과정이 수반된다.

본 연구에서는 열팽창 Profile의 예측을 위해서 실제 현상을 단순 Model화 하여, 해석적 근사법이라 할 수 있는 적분법을 통하여 접근한다. 즉. 열팽창량에 대한 온도 대개변수를 도입하여 평균 온도를 구하고, 이 평균 온도의 축방향 분포로부터 그것에 대응한 열팽창 Profile을 구한다.

Roll 반경  $R$ 의 단면에 대하여, 반경 방향의 온도분포를  $\theta$ 라 하면, 축대칭 평면 비형을 조건하에서 원주표면의 열팽창  $u$ 는 다음과 같이 나타낼 수 있다.<sup>7),8)</sup>

$$U = \frac{2a}{R} \int_0^R \theta dr \dots (2)$$

여기서  $a$ 는 선 팽창 계수이다. 따라서 평균 온도분포  $\theta_m$ 에 대하여

$$\theta_m = \frac{2}{R^2} \int_0^R \theta(r) dr \dots (3)$$

을 이용하면 (2)식의  $u$ 는 다음과 같이 된다

$$u = R \theta_m \dots (4)$$

이때, 축방향에서의 단성적 구속을 무시하기 위해서 (4)식에서 구한 열 Crown은 매우 빠르게 형성되는 것으로 가정되었다.

Fig. 2은 평균온도 Model을 나타낸다. 이때 반경  $R$ , 축방향으로 무한히 긴 원주를 따라서 온도는 반경방향으로 동일하고, 축방향  $x$ 의 핵수로 가정한다. 여기에서 위열 대신에, 광폭  $B$ 에 해당하는 내부 발열의를 가지고, 온도  $\theta_0$ 의 냉매와 열전달계수  $H$ 로 열교환한다고 하자.

Roll의 온도에 관한 기초식은

라 하면 다음식으로 나타낸다.

$$\frac{\partial v}{\partial t} = \begin{cases} x \partial^2 \frac{v}{\partial x^2} - \nu v \div q & (0 \leq x \leq S/2) \\ x \partial^2 \frac{v}{\partial x^2} - \nu v & (B/2 \leq x) \end{cases} \quad \dots \quad (6)$$

단, 대칭성을 고려하여  $x \geq 0$ 에 대하여만 나타냈다. (6)식의 경계조건 및 초기조건은 다음과 같다.

$$x = 0 \text{ 에서 } \partial_v / \partial_x = 0$$

$$t = 0 \text{ 에서 } \theta = \theta_0$$

(6) 식에서  $t$ 는 시간이고,  $x, v$  및  $a$ 는 다음 식으로 정의한다.

$$x = \frac{K}{C\gamma} \quad \dots \dots \dots \quad (7)$$

개수,  $q_i$ 는 단위 체적당의 발열량으로 된다.

따라서, 입연시의 열팽창 Profile  $u$ 는 (3)식과 (6)로부터, 다음과 같이 나타낼 수 있다.

여기서 온도분포 함수  $T_{ll}(x)$ 는 Fig. 3의 침투깊이로 적분법으로 구할수 있다.

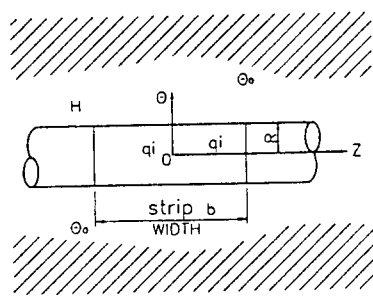


Fig. 2. Mean temperature model

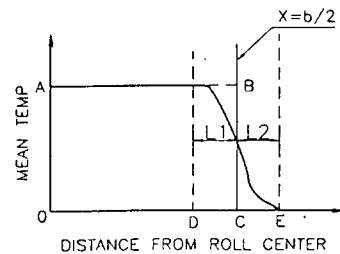


Fig. 3. Temperature distribution using permeated depth.

### 2.3 폭방향 판두께 편차 개선 방법

Taper 작업률을 적용할 경우 어느 스텐드에 적용시키는 것이 가장 효율적인가를 검토할 필요가 있다. 현재 입연기의 발전에 따라 Fig. 4. 6단 압연기에는 작업률 이송 기능을 갖춘 압연기가 개발되어 판 폭의 변화에 따라 작업률의 shifting량을 각 stand별로 민화시키고 적정한 profile의 강화율 압연하고 있다.

예지 드롭 방지 대체<sup>11)</sup>은 작업률의 양단에 taper 부분을 만들어 스트립의 양 끝부분에서의 두께를 두껍게 하는 방법이다. 이 방법은 판 폭이 일정한 경우에만 사용할 수 있으며 판 폭이 변한 경우에는 내용성이 없다. 따라서 다양한 폭을 입연할 경우에는 Fig. 5와 같이 WR에 적당한 taper 부분을 만들어 스트립 폭에 따라 저당히 shifting 할 수 있는 기능이 있는 임의기의 도입이 필요하다. 연구자에

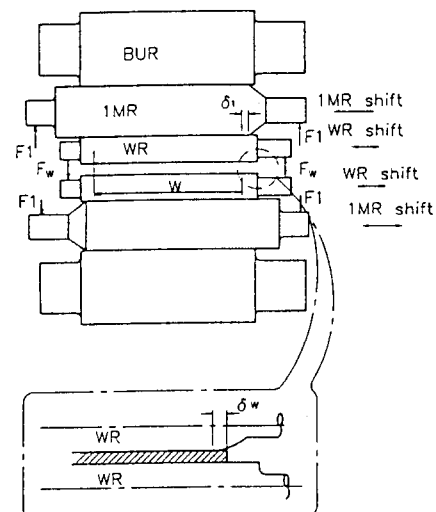


Fig. 4. Configuration of 6-high cold rolling mill.

따라서 taper부의 모양이 선형 또는 곡선인 형태가 제안되고 있다. 판폭에 대응하여 Fig. 6. Tapered work roll의 shifting pattern은 다음과 같은식으로 적용 했다.

$$\delta w = B/2 - EL + \Lambda - BL / 2 \quad \dots\dots\dots(9)$$

여기서  $\delta w$  : W.R Shift 위치, B : 판폭, EL/EH : Strip과 W.R 접촉 길이/높이( 목표 EL : 100 mm ),  $\Lambda$  : Taper 램( 360 mm ), BL : Barrel Length( 1510 mm )

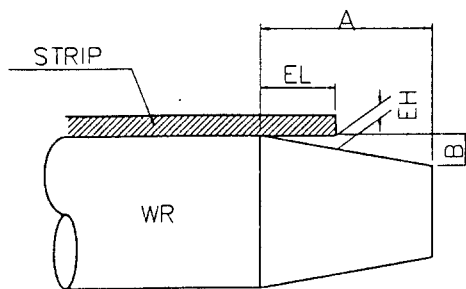


Fig. 5. Notations of tapered work roll.

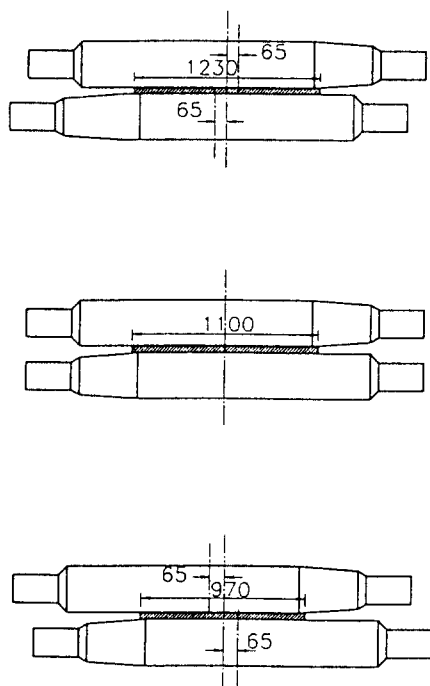


Fig. 6. Configuration of work roll shifting method.

### 3. 결과 및 고찰

#### 3.1 편평량과 Thermal crown 영향도 Simulation 결과

이론적 고찰에서의 편평량과 thermal crown 영향도 계산을 행하였다. Fig. 7은 Work roll의 편평량을 계산한 것으로 후단으로 갈수록 편평량이 커지는 것을 나타내고 있다. 이 편평량이 Edge부의 약 25 mm 까지의 Drop에 큰 영향을 미치고 있다. Strip가 roll이 접촉하는 부분에 flattening이 0.13~0.19 정도로 나타나 있다.

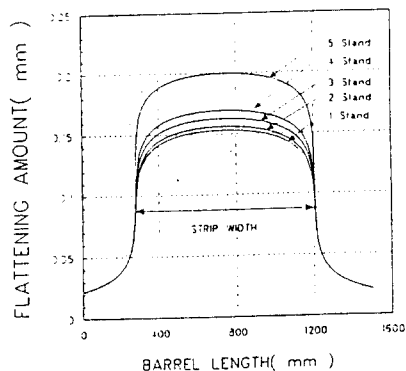


Fig. 7. Distributions of work roll flattening in Tandem Cold Rolling Mill.

Fig. 8은 압연한 코일매수에 따른 work roll의 평균온도의 추이를 보인 것이다. 20코일 이후에서는 평균온도가 거의 일정함을 알 수 있다. 각 stand별로 온도차이가 5~10°C정도 존재한다. 그리고 마지막 Stand의 평균온도는 약 80°C 정도 되는 것으로 계산되었다. 압연시간은 5 ~ 6 분으로 계산하였고, PGC 구간의 냉각시간은 30 초 정도로 하여 계산한 결과이며 대체로 문헌의 평균온도와 잘 일치하고 있다.

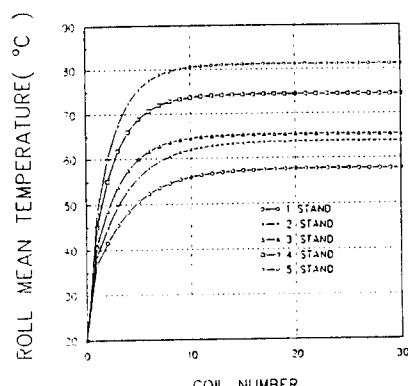


Fig. 8. Variation of work roll mean temperature during rolling

Fig. 9 은 Stand 별로 Roll의 평균온도가 가의 일정한 배  
의 Thermal Profile 을 나타낸 것으로 후단으로 갈수록  
Thermal Crown 이 커지는 것을 나타내고 있다. 최고의  
Thermal Crown 높은 5 스텐드의  $130 \mu\text{m}$  정도이다.

Fig. 10.는 풀중심부에서 멀이진 거리에 따른 Edge-drop factor들의 profile을 그린 것이다. 출구Strip의 profile에 영향을 미치는 인자로 flattening profile, thermal profile, taper profile, 위구strip profile, roll 표면 profile이 있다. 이 경우 Taper 량은 30/100 mm이며 taper부의 접촉 길이 EL = 50mm이다. Taper길이에 상당하는 부분에 두께 편차가 감소하고 있는 것을 나타내고 있다. crown상승이 있음을 알 수 있다.

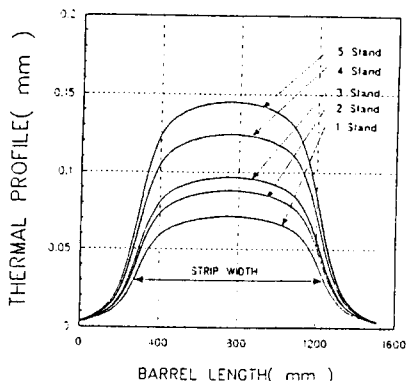


Fig. 9. Variations of thermal expansion profile.

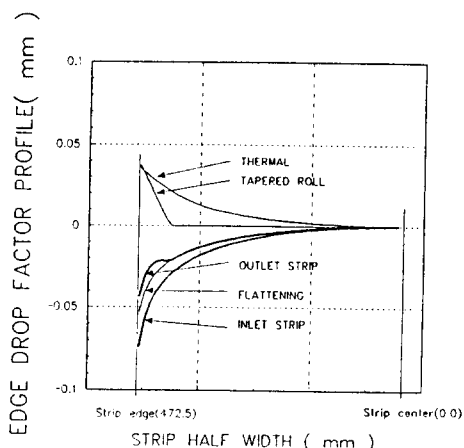


Fig. 10. Edge-drop factors profile. ( $EI = 50$  mm.)

Fig.11.은 1, 2, 스텐드에 Taper부위가  $EL = 100$  mm, Taper 량  $30/100$  mm 를 부여한 작업률을 투여하여 판재를 입안했을 때의 판 Profile 를 Simulation 한 결과이다. 1, 2 스텐드를 통과함에 따라 판 Edge부의 두께가 보상됨을 나타내고있고, 3,4,5 스텐드에서는 자연 강체의 형태로 Edge부의 두께보상은 거의 없다.

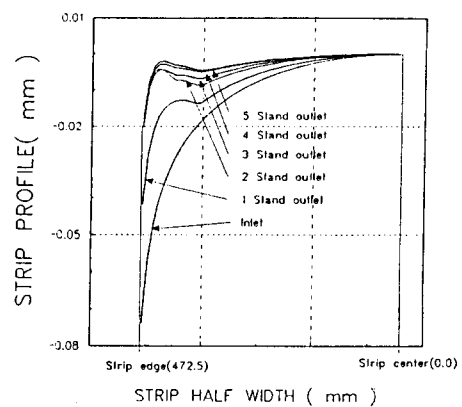


Fig. 11. Strip profiles after each stand rolling  
( EL = 100 mm ).

### 3.2 Tapered 사용 않은 경우 와 profile 비한 Test

Fig. 12는 Taper 작업률을 적용하지 않았을 때의 Strip 폭 방향에 대한 두께 필차를 크리운 비로 열연료일, 1 스텐드 출축, 그리고 4 스템드의 출축 크리운비를 나타내고 있다. 크리운 비는 거의 같은 값을 갖는 경향이며

다면 압연이 거듭될수록 에지부분의 드롭현상이 크지는 것을 나타내고있다. 이는 열연코일의 크라운 비에 맞춰 냉간압연기가 작업되는 것으로 밤일 크라운 비가 심하게 변동되며 판에 Wave 가 발생하게 된다. 이실험으로 보면 열연의 crown 양과 Edge-drop 양의 표준화가 가능하며 다음과 같이 생각 할 수 있다.

$$C_{\text{Hf}} / \text{Hf} = C_{\text{Ba}} / \text{Ba} = 0 \quad (10)$$

여기서, C<sub>hi</sub> : 열연코일 크라운, H<sub>hi</sub> : 열연코일 두께,  
 C<sub>ho</sub> : 냉연코일 크라운, h<sub>o</sub> : 냉연코일 두께이다.  
 그리고, C<sub>hi</sub> / H<sub>hi</sub> : 열연코일 크라운비, C<sub>ho</sub> / h<sub>o</sub> : 냉연  
 코일 크라운 비율 나타낸다.

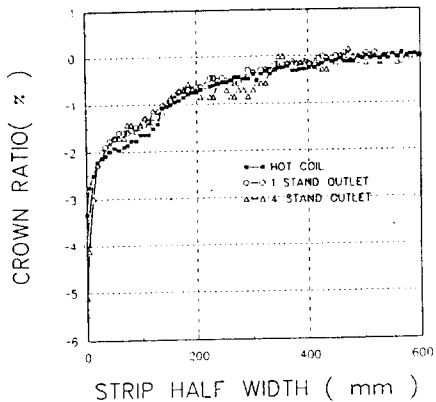


Fig. 12. Distributions of crown ratio without tapered work roll.

### 3.3 Tapered 작업롤 사용한 결과

냉연 PCM 의 1 스템드에 테이프량 0.3 mm, 2 스템드에 테이프량 0.2 mm, 테이프길이 360 mm의 작업롤을 투입하여 test 실시한 결과인 Fig. 13를 보면 Edge 부의 Drop 이 거의 회복되는 것을 엿었으며 궁극적인 1.5 % 내의 두께 적중율을 얻을 수 있었다. 이때의 냉연 작업롤의 테이프량은 1 스템드는 30/100 mm, 2 스템드는 20/100mm 이다.

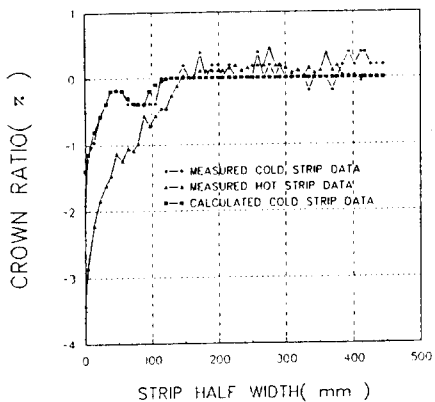


Fig. 13. Distributions of crown ratio with tapered work roll.

## 4. 결론

냉연 강판의 폭방향의 두께 편차 영향을 주는 제반 인자들인 flattening profile, thermal profile, taper profile, 임구strip profile을 분석하여 현장 실험조건을 만들고 현장실험을 실시하였으며 이 과정의 결론은 다음과 같다.

1) Work roll의 편평량은 후단으로 간수록 커지는 것으로 나타나고 있다. 이 편평량이 Edge부의 약 25 mm 까지의 Drop에 큰 영향을 미치고 있다. Strip과 roll이 접촉하는 부분에 flattening이 0.13~0.19정도로 나타나 있다.

2) Thermal Profile은 후단으로 간수록 Thermal Crown 이 커지는 것을 나타내고 있다. 최고의 Thermal Crown 량은 5 스템드의 130  $\mu\text{m}$  정도이다.

3) Taper량 0.3 mm의 Work roll을 1 stand에 투입하고 0.2 mm의 Tapered work roll을 2 stand에 투입하면 ±1.5%의 폭방향 두께편차내의 냉연판 Profile 을 Simulation 으로 얻었다.

4) Test 결과인 Edge 부의 Drop이 거의 회복되는 조건은 냉연 Work roll의 Taper 량은 1 stand 는 30/100 mm , 2 stand 는 20/100mm 이다.

## 5. 参考文献

- 1) 日本鐵鋼協會 : '板壓延 理論と 實際', (1983)
- 2) 北村 邦雄 外 : '薄板壓延おいて刑狀と profileの制御', 川崎製鐵期報, Vol.11, No.1(1979)
- 3) 鈴木 弘 : '壓延百話(11)', 機計の研究, 第42卷, 第2호, pp.81-8(1990)
- 4) 水野 外 : 'Rollの接觸變位および板の刑狀', 塑性と加工, Vol.22, No.243,(1981)
- 5) 戸澤 外 : 'Rollの變刑および壓力分布におけるRoll Crownの影響', 塑性と加工, Vol.16, No.171(1975)
- 6) 鈴木 弘 : '壓延百話(12)', 機計の研究, 第42卷, 第3호, pp.77-84(1990)
- 7) 배원병, 박해두, 이성진, 최재찬: 1993 "열간 판재압연에서 판 crown 해석", 한국소성 가공학회지, 제2권, 3호, pp51-63
- 8) 박해두, 김진옥, 최재찬, 백남주, 1990, " 열간 사상압연에서의 열 및 마멸크라운에 관한 연구", 한국정밀공학회지, 제7권, 제3호, pp. 14-25.